



# Metodi dendroecologici a supporto del monitoraggio forestale

Roberto Tognetti



Accademia Italiana  
di Scienze Forestali

*Federazione  
degli Ordini  
dei Dottori Agronomi  
e dei Dottori Forestali  
dell'Abruzzo*

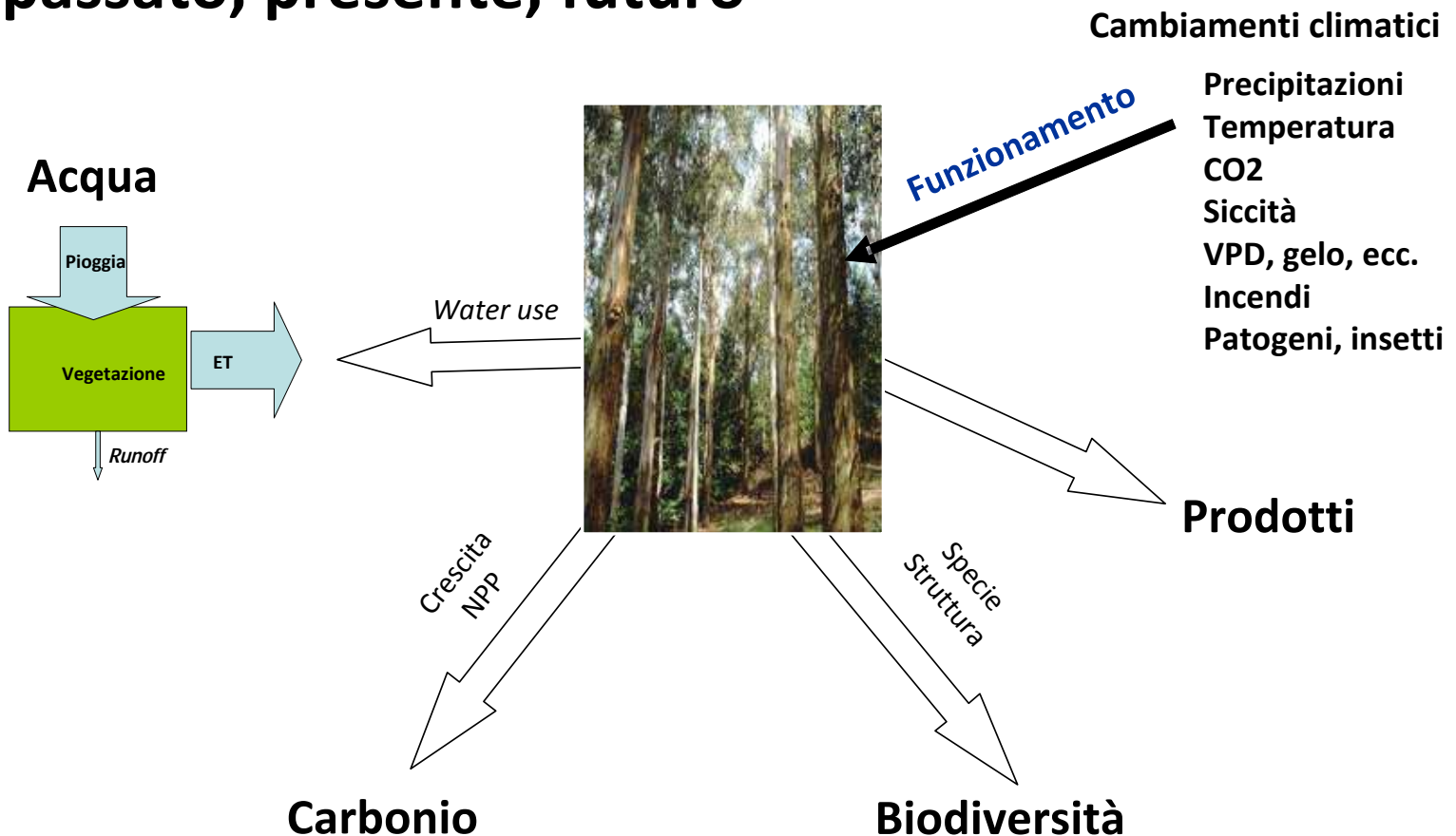
**AliFor**  
*Associazione  
Laureati  
Italiani  
in Scienze Forestali  
(FIDAF)*

**Bruno Lasserre**  
**Fabio Lombardi**  
**Claudia Cocozza**  
**Caterina Palombo**

.....



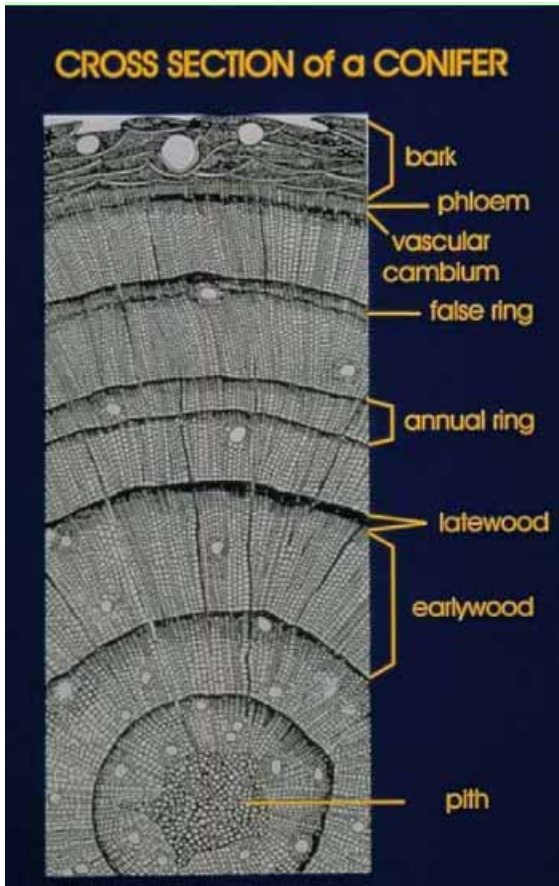
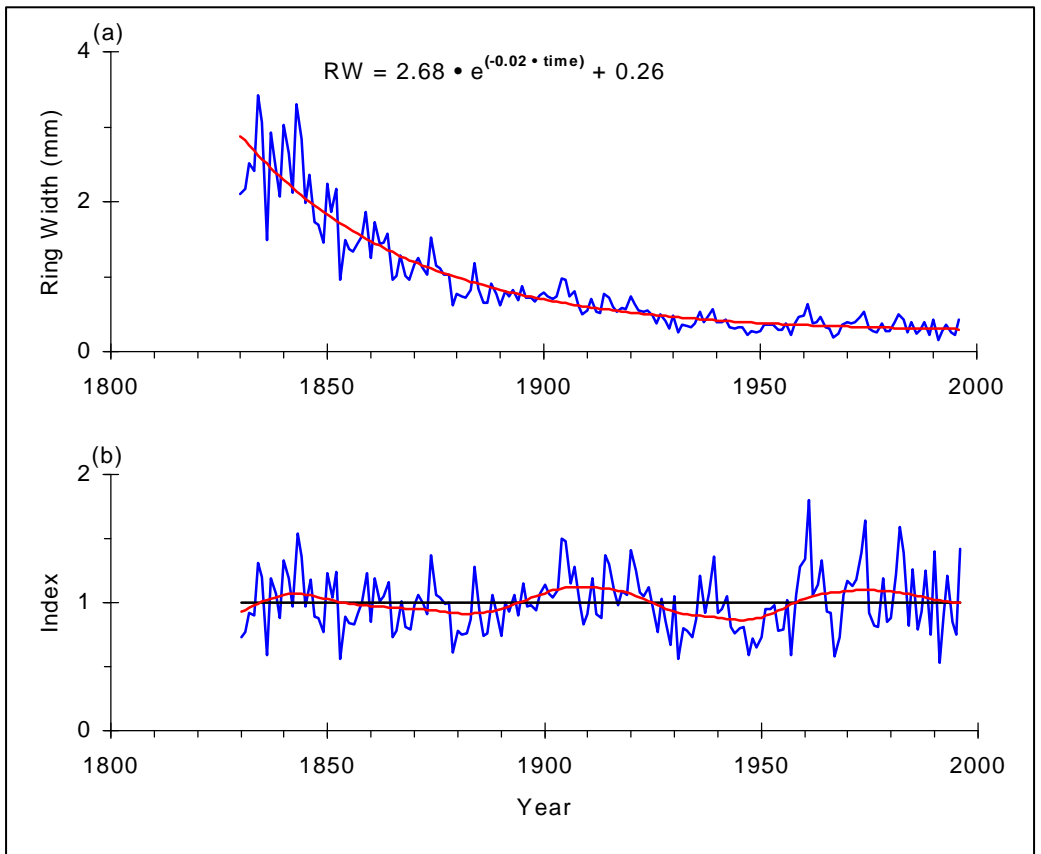
# Le foreste raccontano... passato, presente, futuro



# La memoria degli alberi: dendrocronologia

Assegnazione dell'anno di formazione a ciascun anello

Ricostruzione degli andamenti della crescita e delle condizioni ambientali



# Attualismo

Presente

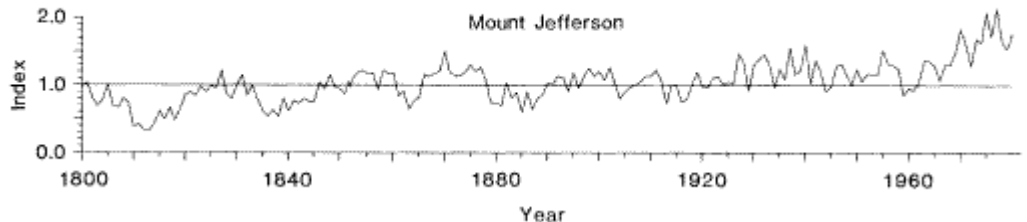
Futuro?

Passato

Processi climatici e fattori ambientali che operano oggi hanno agito in modo simile in passato

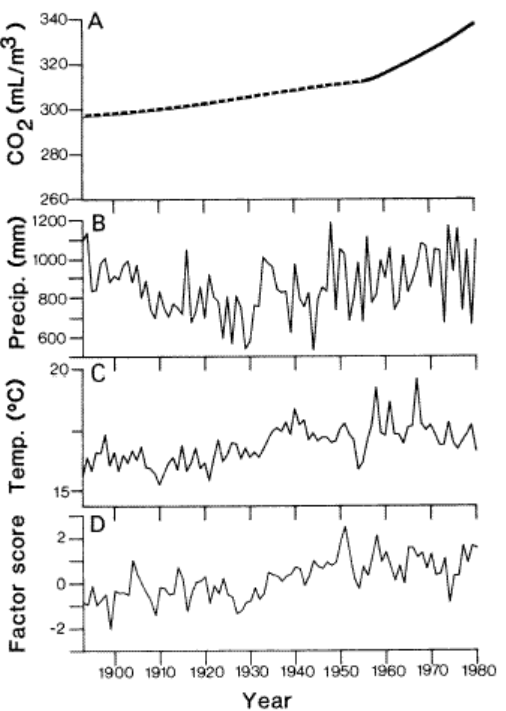


# Dendrocronologia e cambiamenti climatici, e controversie...

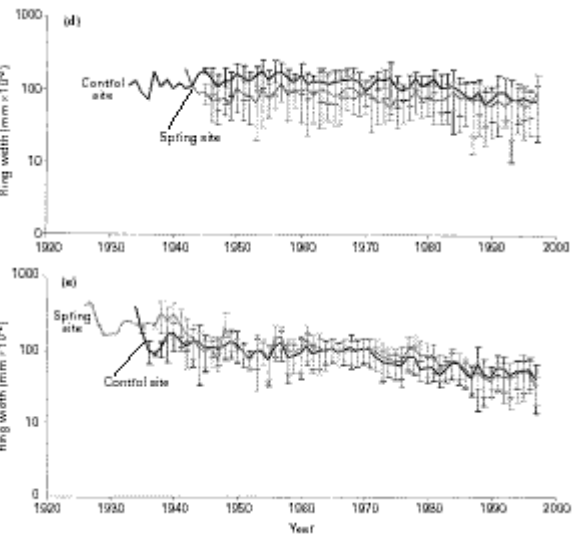
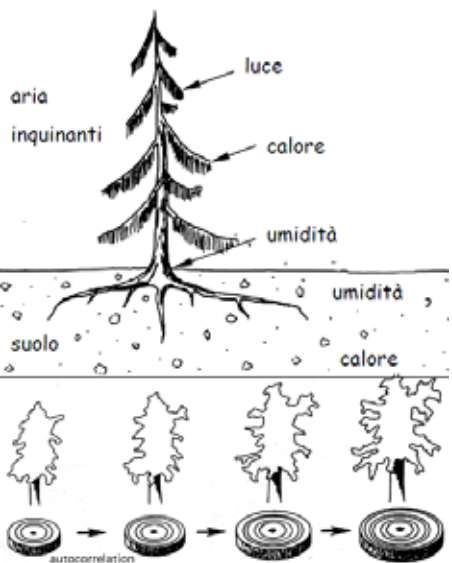
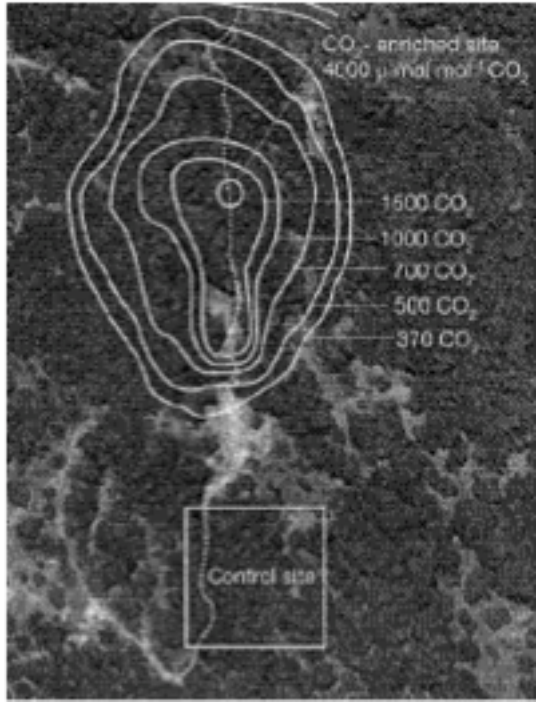


**Aumento della crescita in conifere subalpine attribuito all'aumento di CO<sub>2</sub>**  
**(La Marche et al., Science 1984)**

**Aumento della crescita in alberi degli USA NW insignificante in risposta ad aumento di temperatura e CO<sub>2</sub>**  
**(Graumlich et al., Ecology 1989)**



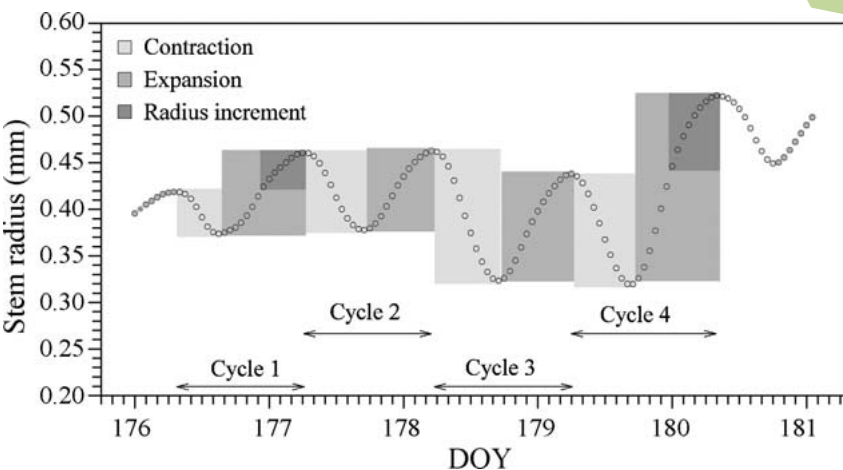
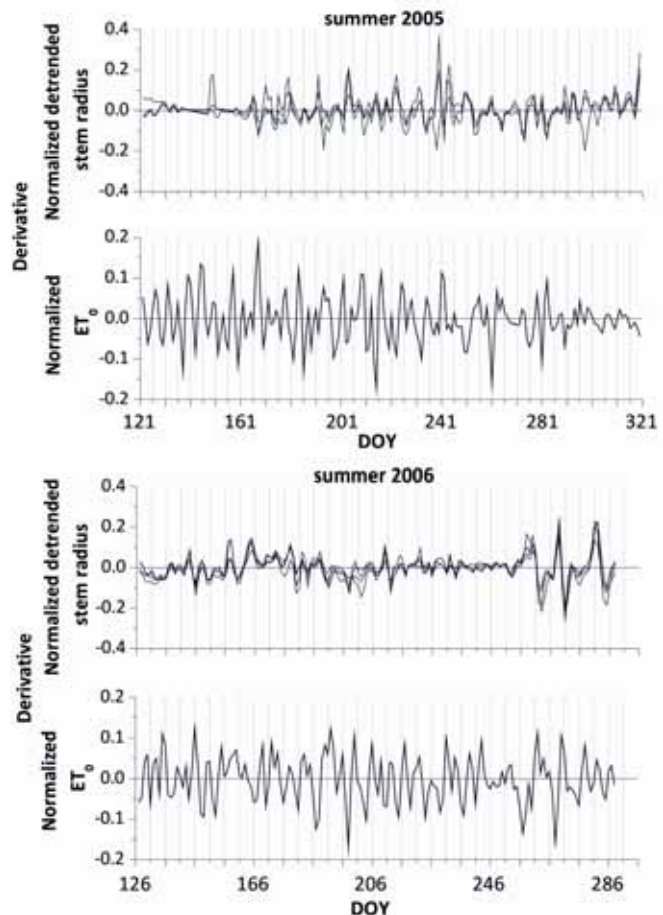
# I fattori ambientali lasciano traccia negli anelli annuali



Tognetti et al. (New Phytol. 2000)



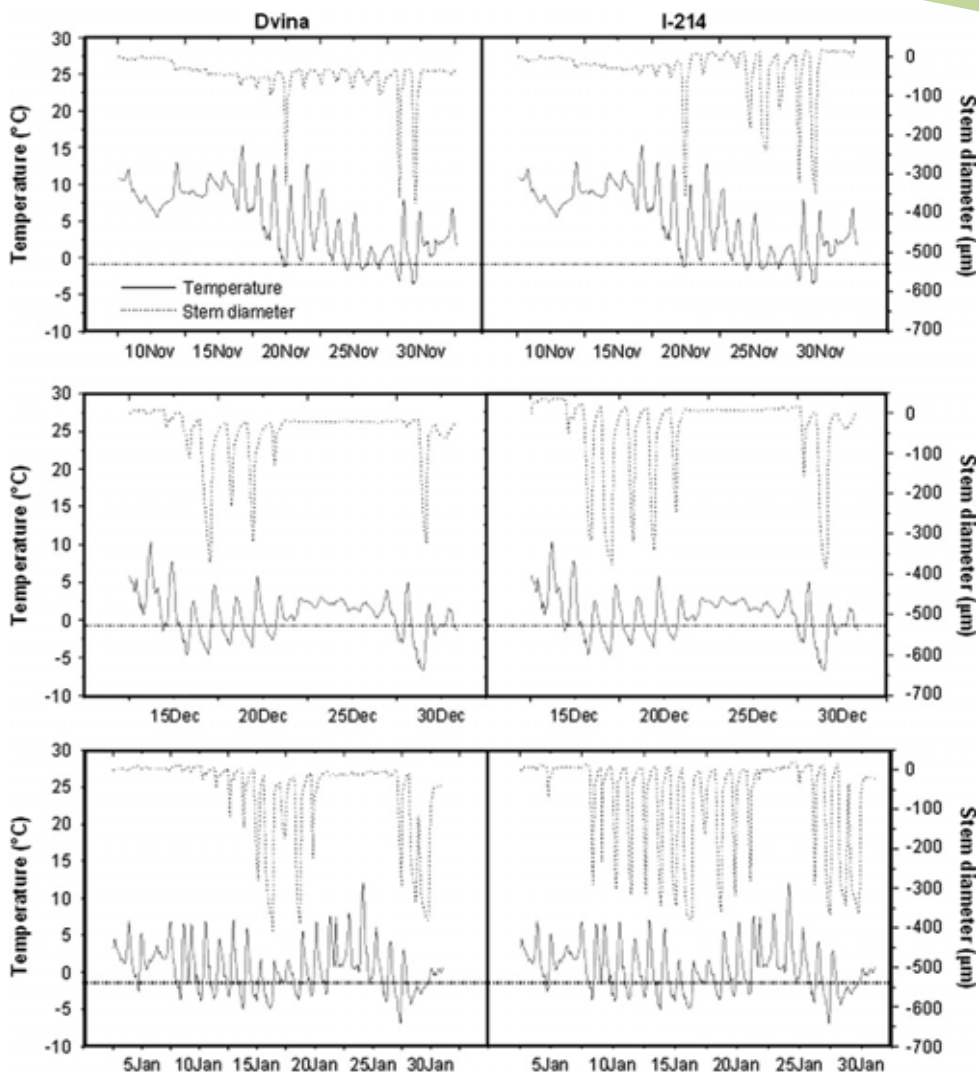
# Fattori limitanti



Cocozza et al. (Agr. For. Meteorol. 2012)

**La crescita è regolata da fattori ambientali e fisiologici**





Cocozza et al. (J. Exp. Bot. 2009)

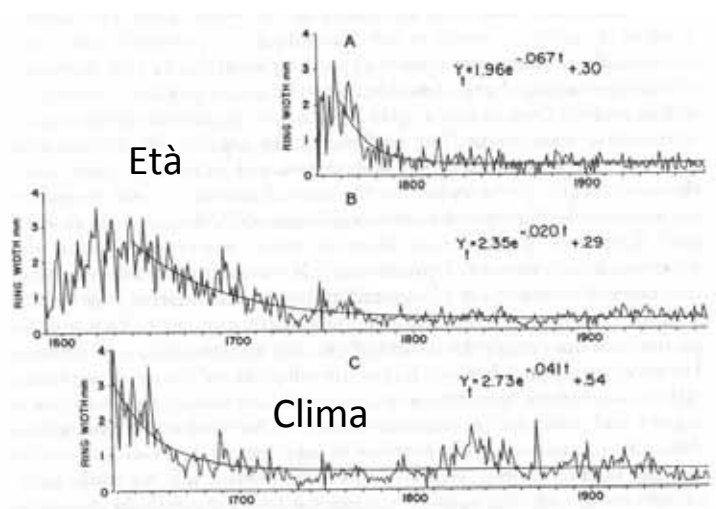


# Standardizzazione

$$R_t = A_t + C_t + \delta D1_t + \delta D2_t + E_t$$

$R$  = ampiezza anulare,  $t$  = anno corrente, e delta = indicatore presenza (1) o assenza (0)

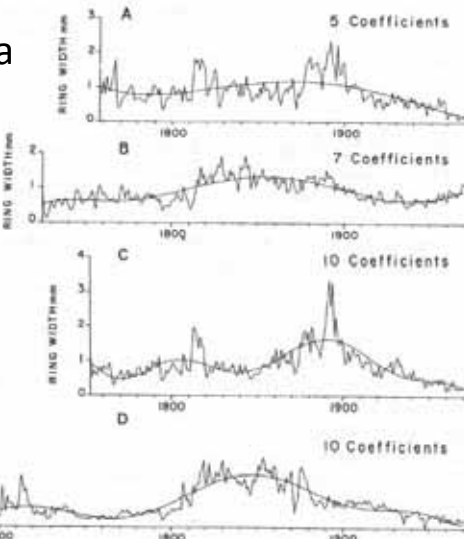
1.  $A$  = trend relativo all'età
2.  $C$  = clima
3.  $D1$  = processi di disturbo esogeni
4.  $D2$  = processi di disturbo endogeni
5.  $E$  = errore



Dinamica

Morte

Fuoco

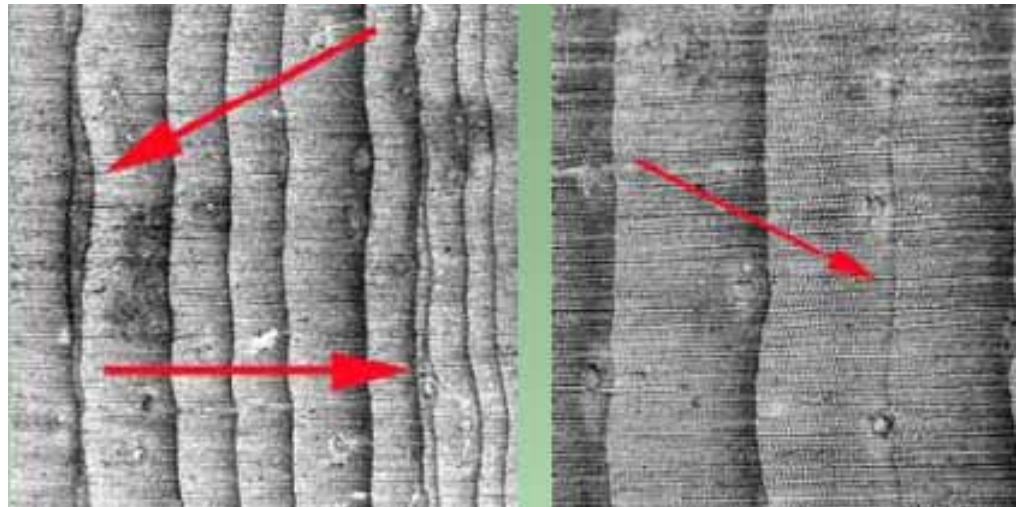


**Solo uno è il segnale desiderato, gli altri costituiscono il rumore**

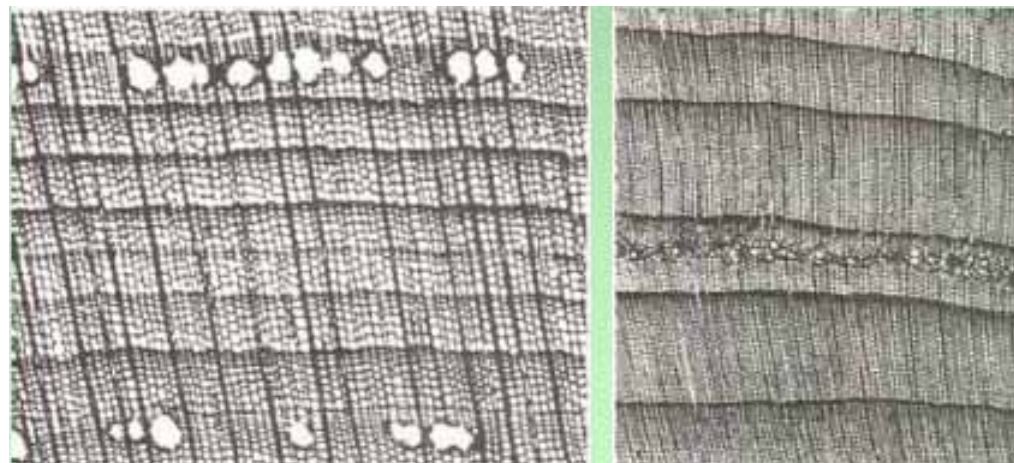


Variazioni indici quantitativi  
(ampiezza, densità);

Caratteristiche particolari  
(ferite, alterazioni di tessuti,  
canali resiniferi traumatici)

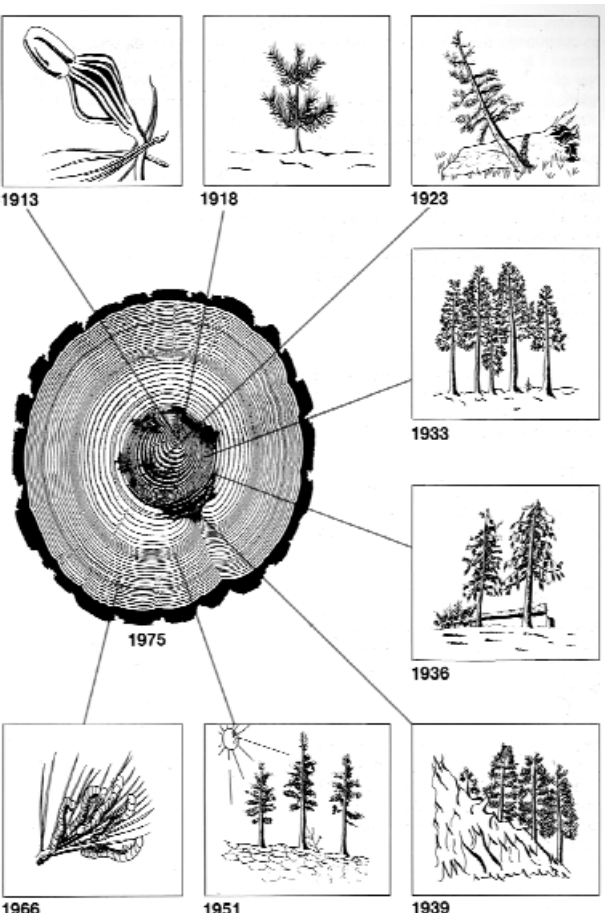
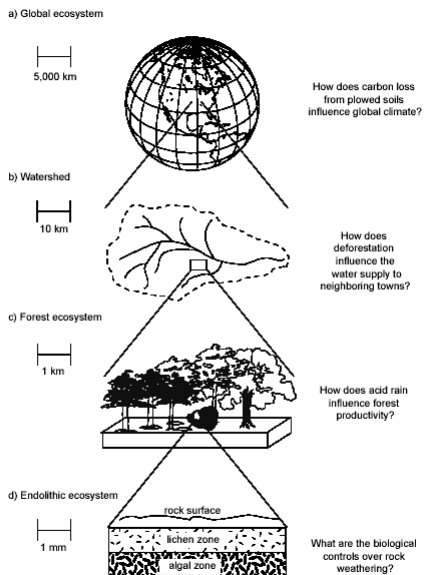


Modifiche composizione  
chimica del legno



# Anelli come bioindicatori

Tutte le informazioni ambientali che risalgono al periodo di formazione di un anello possono essere date



## Aampiezza ecologica

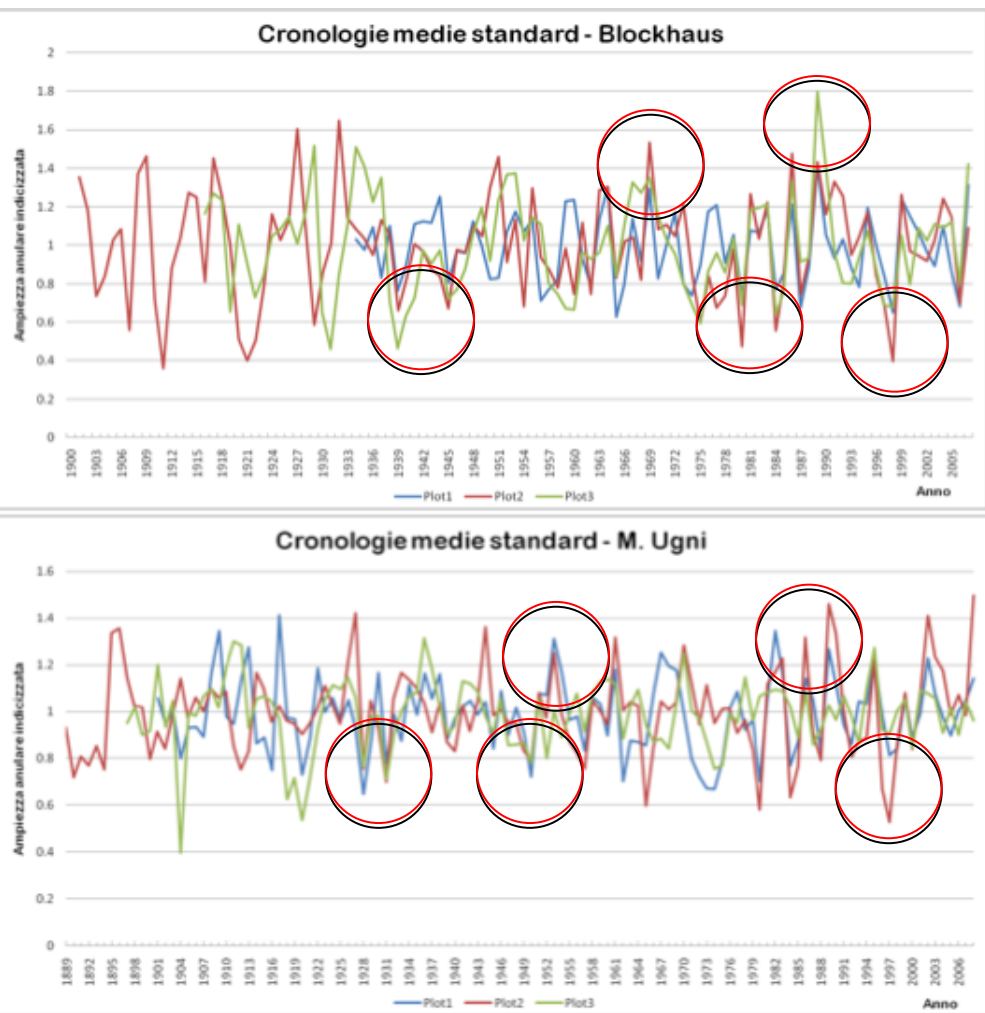
**Una specie è più sensibile alle variazioni ambientali al limite del suo areale**



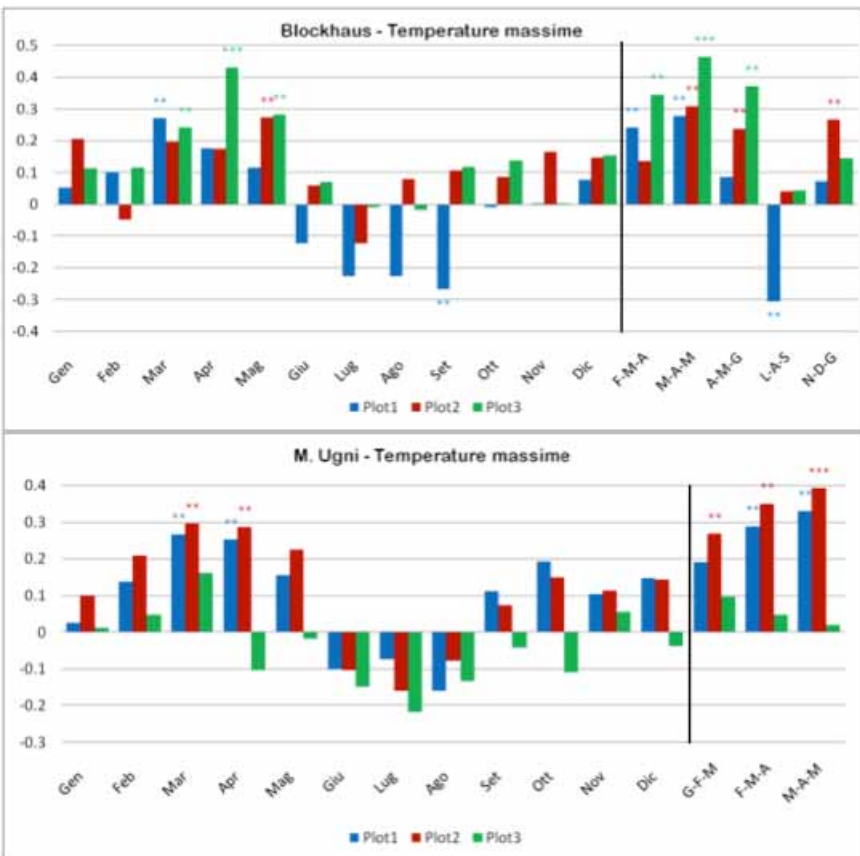
**Risalita a quote altitudinali maggiori ed espansione delle formazioni arbustive del piano subalpino (Majella)**



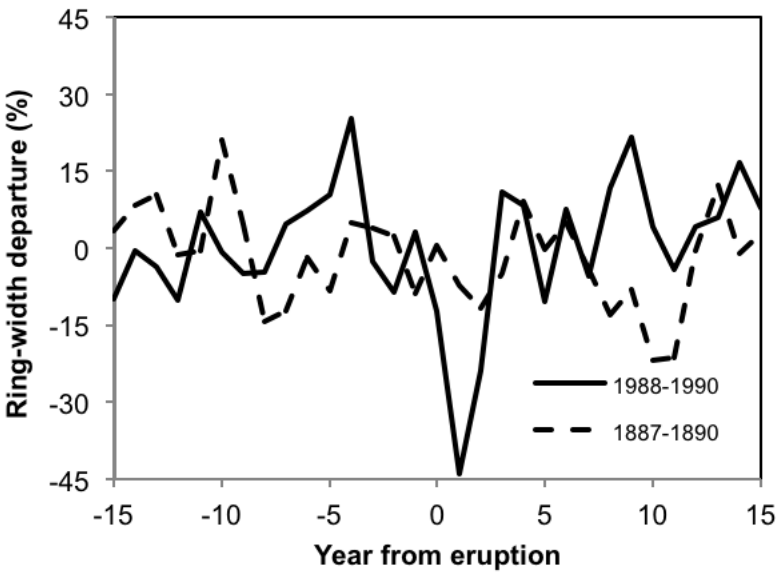
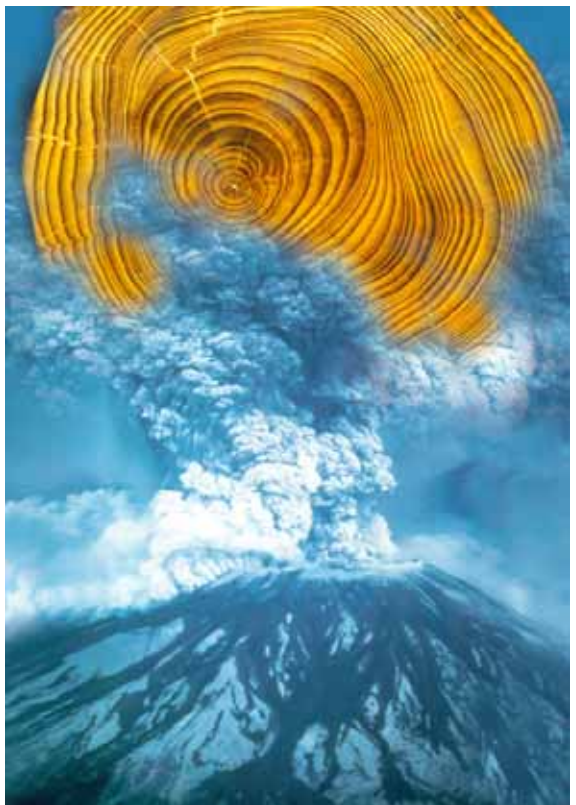
# Pointer years = anni caratteristici che rappresentano un andamento anomalo nella crescita



# Correlazione crescita-fattori climatici



## Selezione del sito



Tognetti et al. (Trees in press)



**Preferenza per siti che esaltano la risposta ai fattori ambientali**

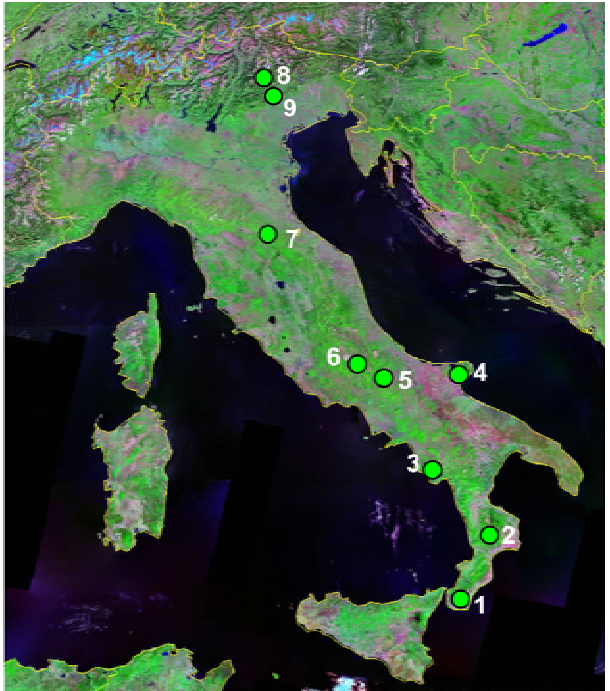


# Dendroecologia in aree protette



N.	REGIONE	SITO	SPECIE	ALTITUDINE (m s.l.m.)	ESPOSIZIONE (°N)	PENDENZA (%)
1	Calabria	Parco Aspromonte	Faggio	1560	120	15
2	Calabria	Parco Sila	Faggio	1680	225	20
3	Campania	Parco del Cilento	Faggio	1130	340	15
4	Puglia	Parco Gargano	Faggio	775	355	40
5	Molise	Montedimezzo	Faggio	1100	40	15
6	Abruzzo	Parco Abruzzo	Faggio	1780	0	25
7	Toscana	Sasso Fratino	Faggio	1550	45	40
8	Veneto	Parco Dolomiti Bellunesi	Faggio	1100	315	36
9	Veneto	Pian Cansiglio	Faggio	1300	120	5

$$^{13}\text{C} = ^{13}\text{C}/^{12}\text{C} \text{ e } ^{18}\text{O} = ^{18}\text{O}/^{16}\text{O}$$



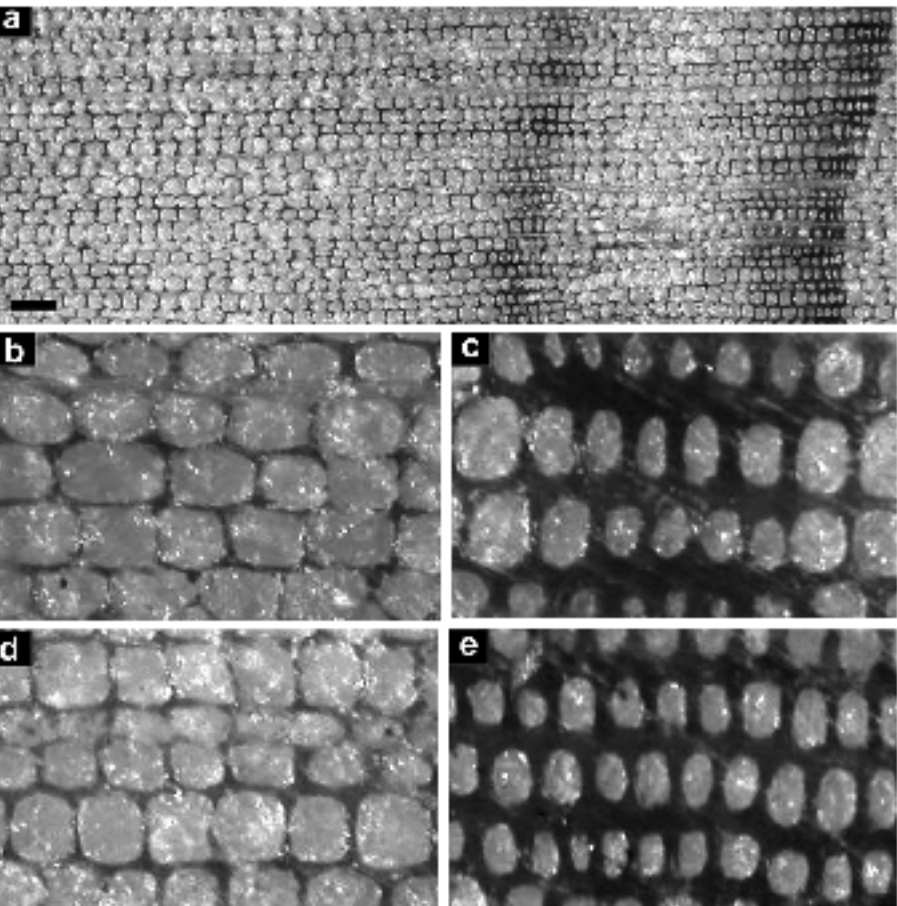
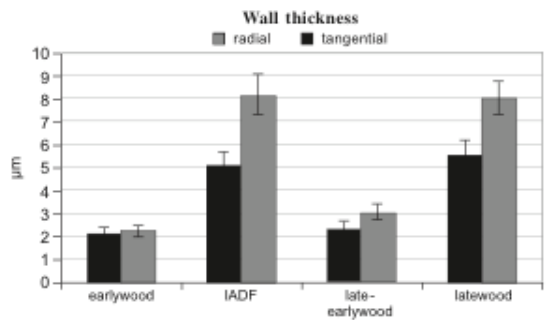
Analisi su gruppi decennali di anelli per valutare l'occorrenza di risposte fisiologiche in relazione all'andamento climatico



# Mediterraneo: limiti che diventano opportunità...



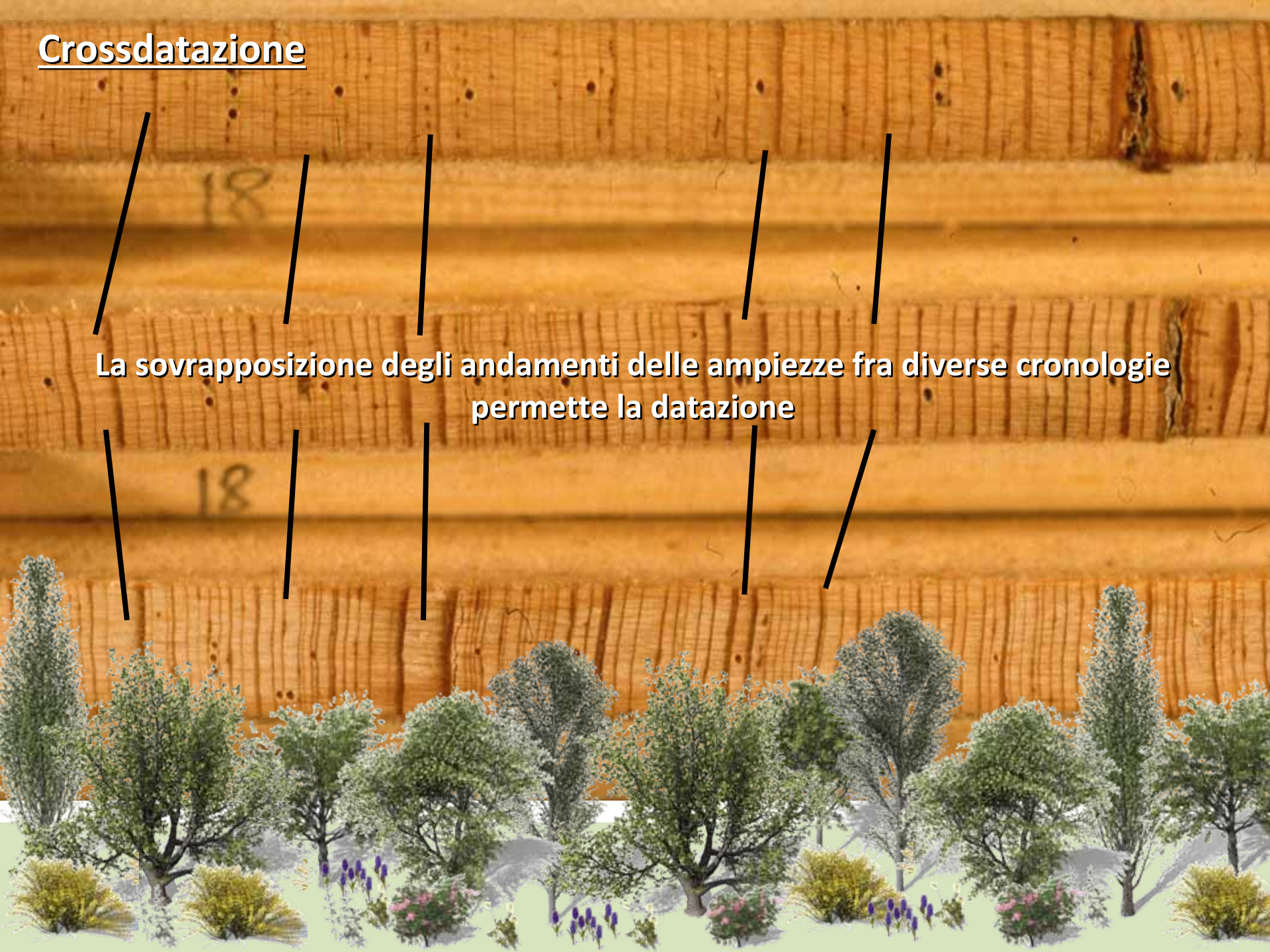
**Cherubini et al. (Biol. Rev. 2003)**



**De Micco et al. (IAWA 2007)**



# Crossdatazione

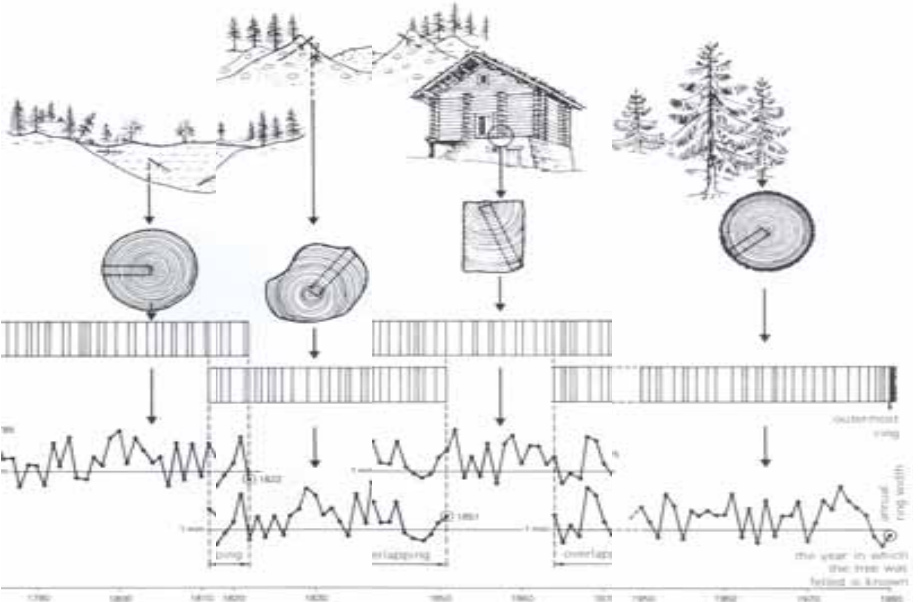


La sovrapposizione degli andamenti delle ampiezze fra diverse cronologie permette la datazione

# Dalla crossdatazione al valore ecologico del legno morto

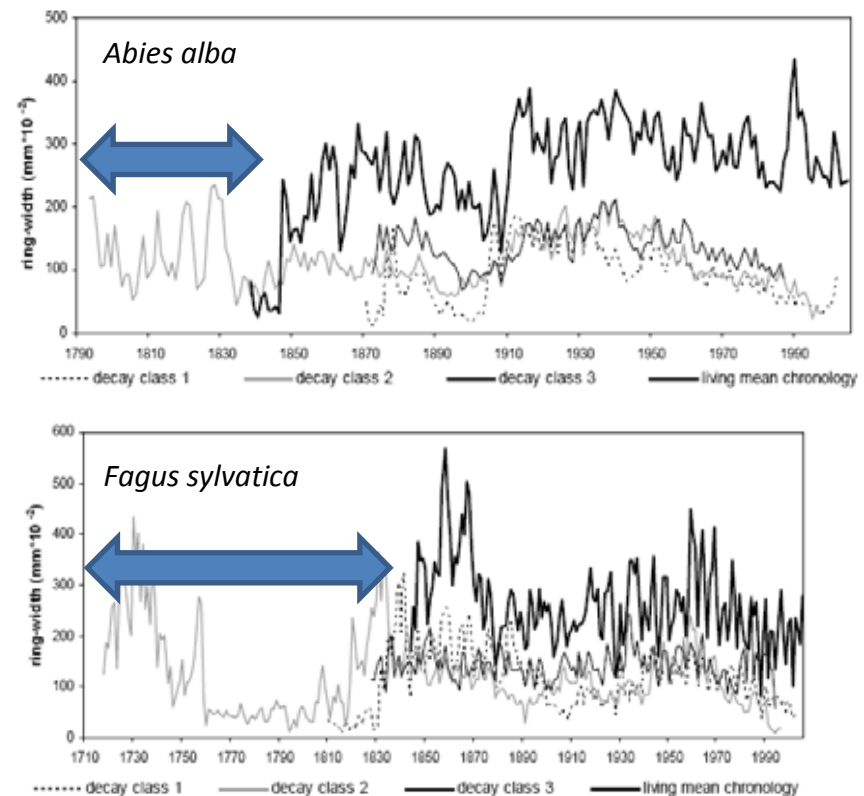
Stoccaggio del carbonio

Conservazione della biodiversità

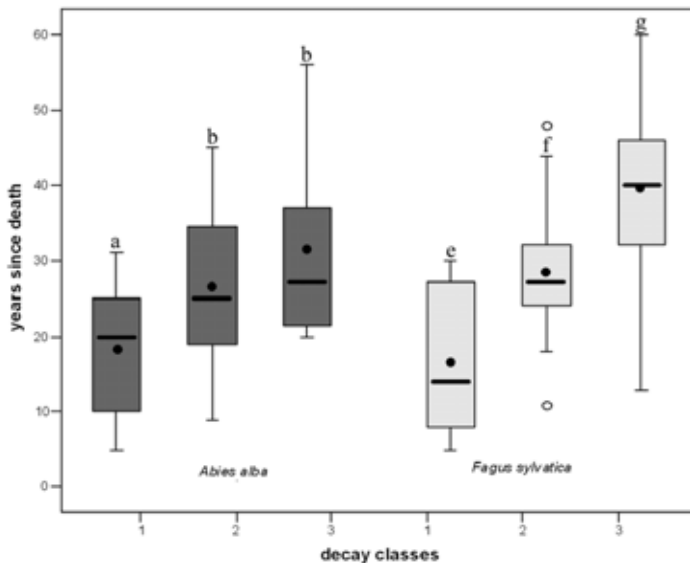


# Il legno morto in foresta: permanenza e datazione

## Ampliamento cronologie

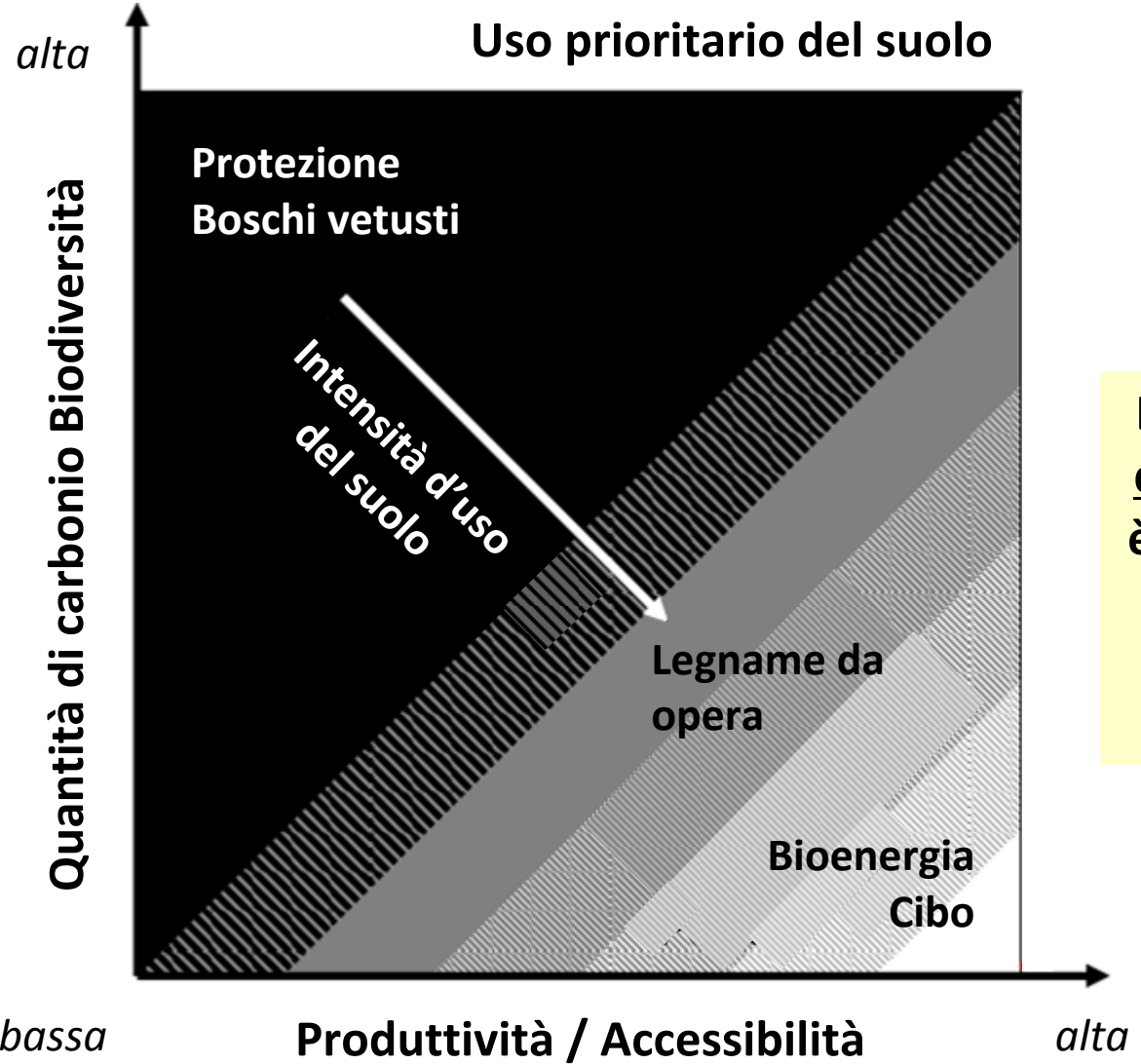


## Valutazione permanenza in foresta



Sussiste un continuum nella morte delle piante ed una differenza nel tasso di transizione fra una classe e l'altra

Lombardi et al. (Can. J. For. Res. 2008)



**La conservazione  
della biodiversità  
è anche un mezzo  
valido ai fini del  
sequestro di  
carbonio?**



# *Nothofagus* vs. *Fagus*

*N. betuloides*

Volume alberi vivi  
846 m<sup>3</sup>/ha

Volume legno morto  
399 m<sup>3</sup>/ha

Lombardi et al. (Austral Ecol. 2011)



Volume del legno morto, m<sup>3</sup>/ha (alberi vivi)

Nord Europa, 100-150    *F. sylvatica*

Cilento, 28 (500)

Montedimezzo, 45 (385)

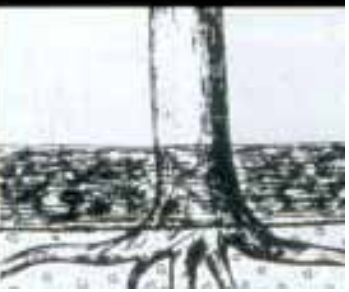
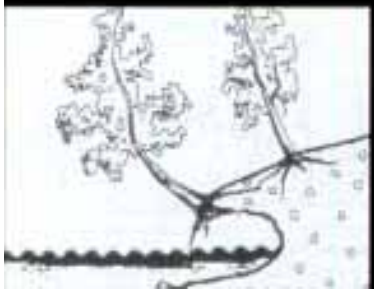
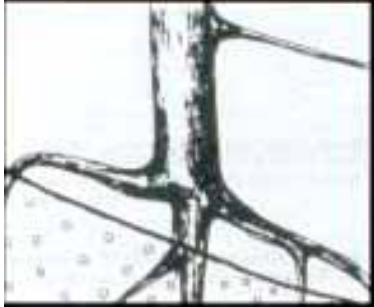
Matese, <7

23-80 (149-1440)                  *F. orientalis*

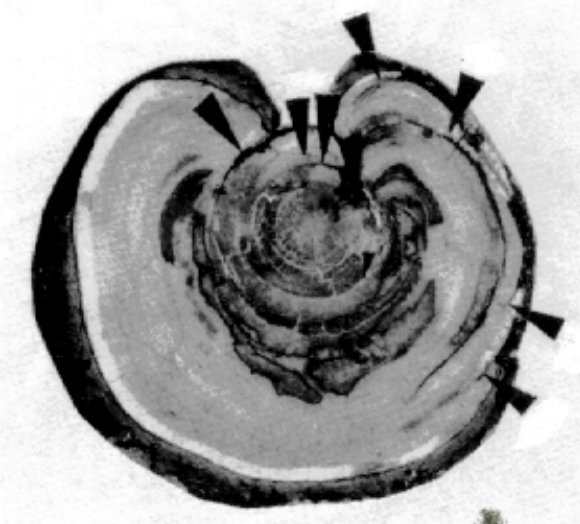


## Datazione delle ferite

Frequenza  
Tempo di ritorno  
Previsioni  
Prevenzione



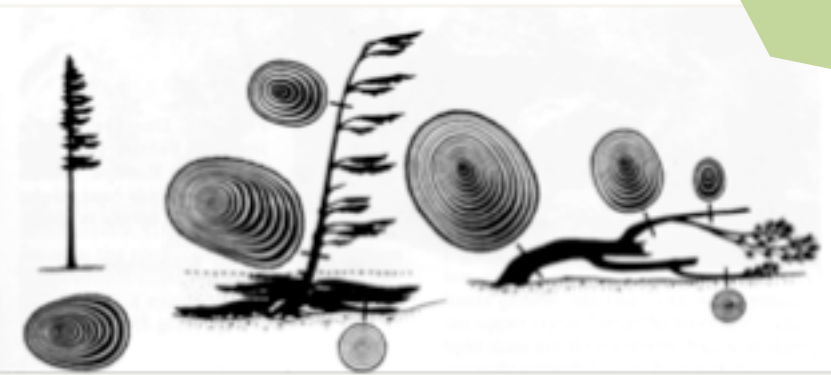
## Altre applicazioni



## Legno di reazione

Conifere: legno di *compressione*

Latifoglie: legno di *tensione*



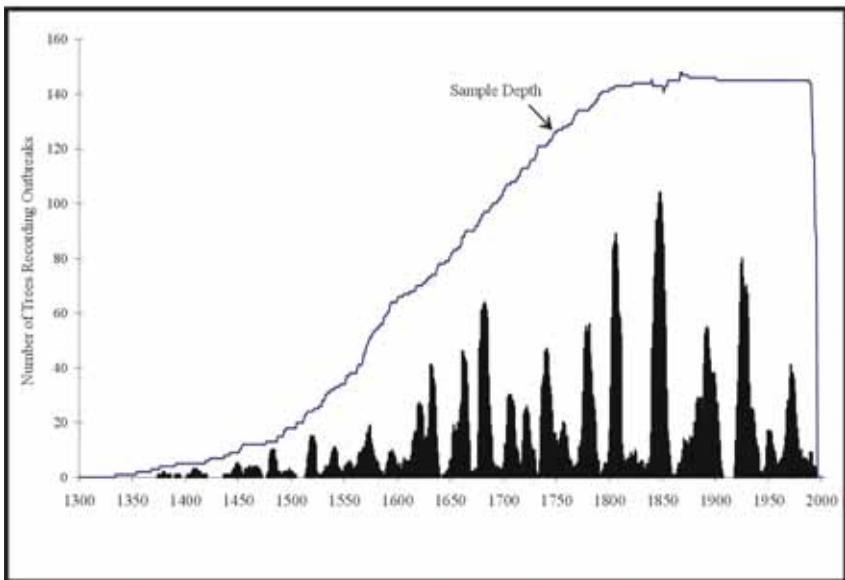
## Formazione di tessuto meccanico e conduttore

### Fascie ecotonali - transizione mugo-faggio

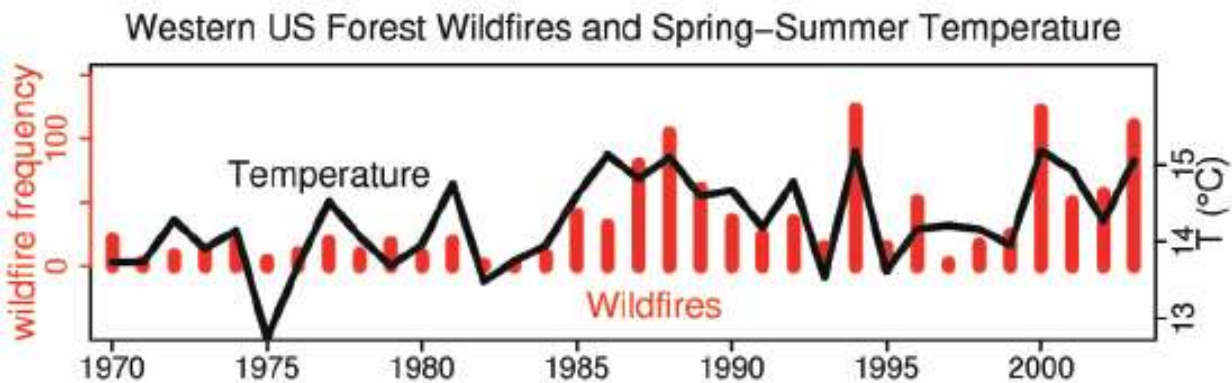


## Storia del disturbo: necessità di studi di lungo termine...

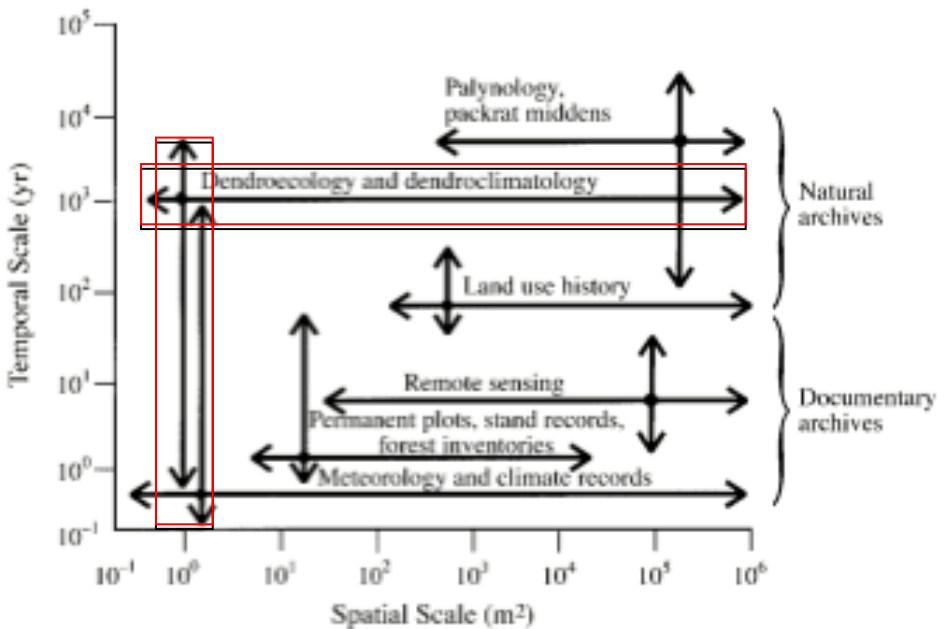
Infestazioni d'insetti



Incendi forestali



# Range di variazione temporale e spaziale dell'ecologia storica



**La prospettiva storica aumenta la capacità di comprendere la natura dinamica del paesaggio e rappresenta un riferimento per valutare andamenti e processi nel presente (Swetnam et al., Ecol. Appl. 1999)**

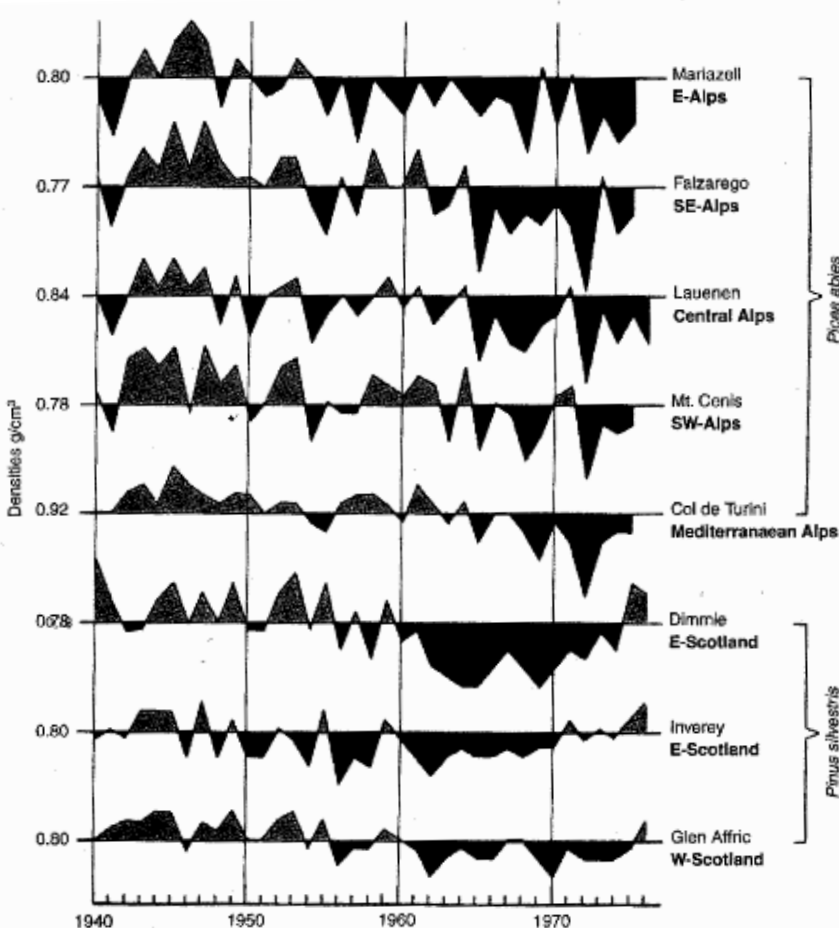


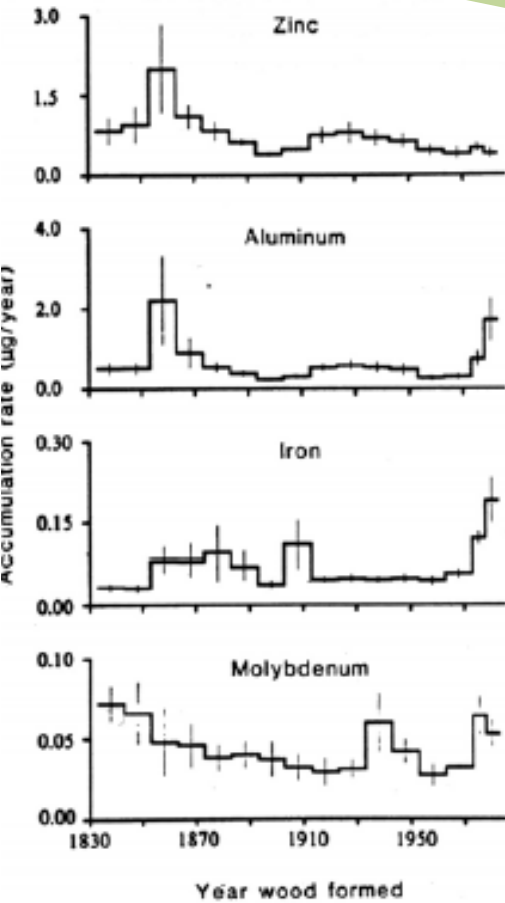
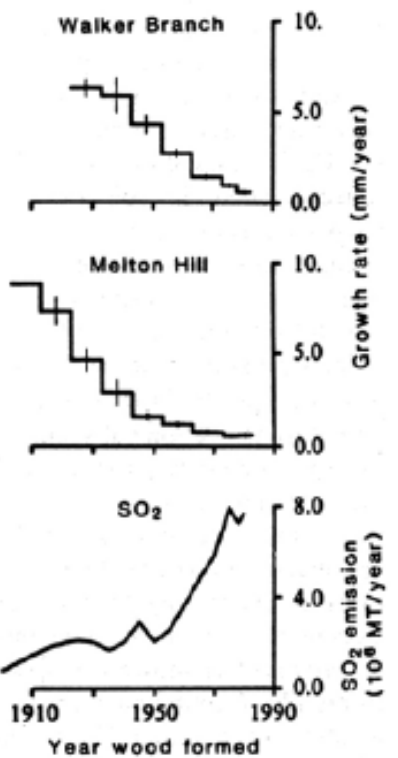
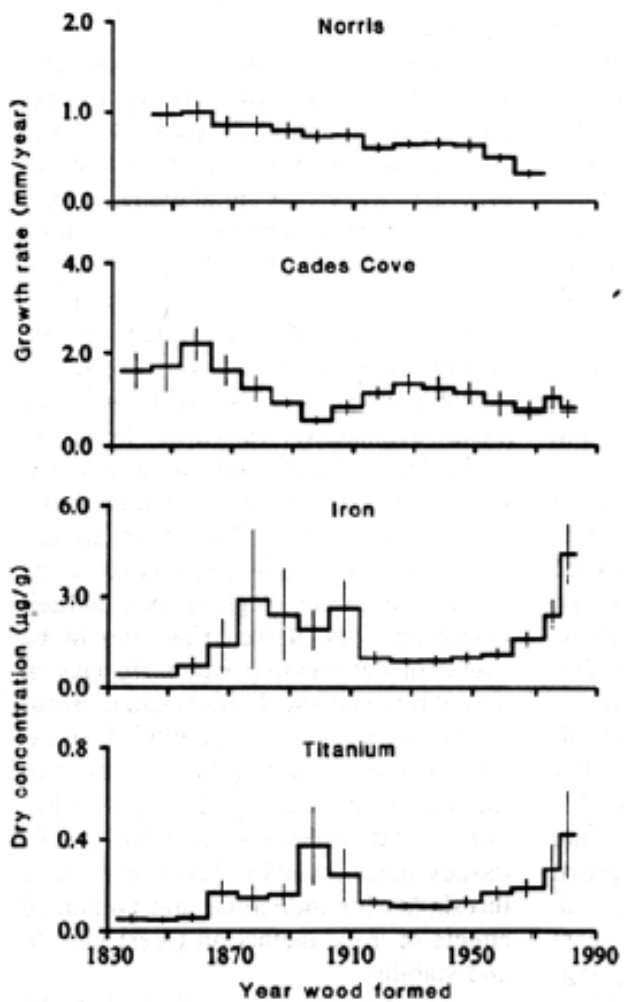
## Altre applicazioni: inquinamento e deperimento

Riduzione della densità massima del legno primaverile in conifere (115 siti in Europa)

Riduzione non attribuibile a fattori locali o macroclimatici

Alterazione in seguito ad inquinamento atmosferico (riduzione delle riserve di carboidrati)





Baes e McLaughlin (Science 1984)

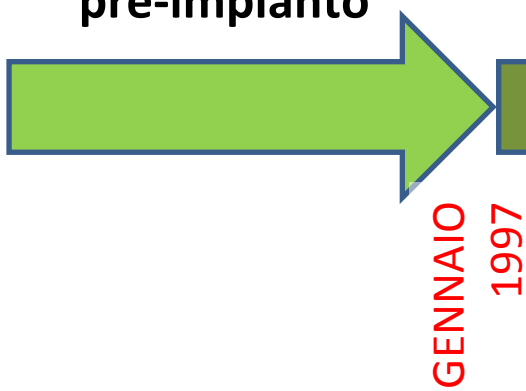


Area (hectares)	Cadast. Est.	Cadast. Fined.
Plot A	425946.37	4596495.83
Plot B	426145.05	4596520.34
Plot C	426342.06	4597142.83

**pre-impianto**

**uso prevalente  
biomassa**

**uso prevalente  
CDR**



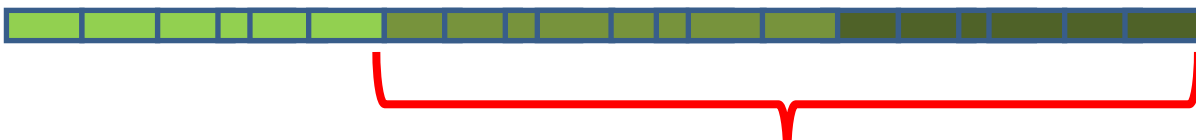
2005  
2007  
**OGGI**

**inizio attività  
centrale di cogenerazione,  
alimentabile a biomassa,  
della potenza termica complessiva  
di 47 MW circa per la produzione  
di calore e di energia elettrica**

**impianto fermo per lavori  
di adeguamento**



# Campionamento per analisi diossina, eventualmente prodotta dalla combustione CDR e accumulata nei tessuti legnosi (Jou et al. 2007)



## SUL CAMPIONE TAL QUALE

DIBENZODIOSSINE/FURANI POLICLORURATI (PCDD/PCDF)

Met: EPA 1613 B 1994

CONGENERI TOSSICI SECONDO OMS

PCDD SOSTITUITE IN 2,3,7,8

2,3,7,8-tetracdd

*Plot 1*

n.r. µg/kg

*Plot 2*

n.r. µg/kg

*Plot 3*

n.r. µg/kg

1,2,3,7,8-pentacdd

n.r. µg/kg

n.r. µg/kg

n.r. µg/kg

1,2,3,4,7,8-esacdd

n.r. µg/kg

n.r. µg/kg

n.r. µg/kg

1,2,3,6,7,8-esacdd

n.r. µg/kg

n.r. µg/kg

n.r. µg/kg

1,2,3,7,8,9-esacdd

n.r. µg/kg

n.r. µg/kg

n.r. µg/kg

1,2,3,4,6,7,8-heptacdd

n.r. µg/kg

n.r. µg/kg

n.r. µg/kg

Octacdd

0,00219 µg/kg

0,0052 µg/kg

0,00378 µg/kg

PCDF SOSTITUITI IN 2,3,7,8

2,3,7,8-tetracdf

n.r. µg/kg

n.r. µg/kg

n.r. µg/kg

1,2,3,7,8-pentacdf + 1,2,3,4,8-pentacdf

n.r. µg/kg

n.r. µg/kg

n.r. µg/kg

2,3,4,7,8-pentacdf

n.r. µg/kg

n.r. µg/kg

n.r. µg/kg

1,2,3,4,7,8-esacdf + 1,2,3,4,7,9-esacdf

n.r. µg/kg

n.r. µg/kg

n.r. µg/kg

1,2,3,6,7,8-esacdf

n.r. µg/kg

n.r. µg/kg

n.r. µg/kg

2,3,4,6,7,8-esacdf

n.r. µg/kg

n.r. µg/kg

n.r. µg/kg

1,2,3,7,8,9-esacdf

n.r. µg/kg

n.r. µg/kg

n.r. µg/kg

1,2,3,4,6,7,8-heptacdf

n.r. µg/kg

0,00079 µg/kg

n.r. µg/kg

1,2,3,4,7,8,9-heptacdf

n.r. µg/kg

0,000318 µg/kg

n.r. µg/kg

Octacdf

0,00222 µg/kg

0,00401 µg/kg

0,00344 µg/kg

Equivalenti di tossicità (i-teq)

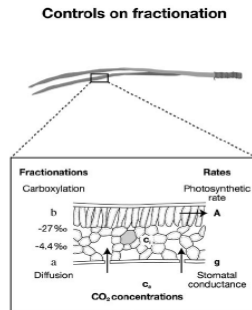
0,000000 µg/kg

0,000020 µg/kg

0,000010 µg/kg



Controls on fractionation



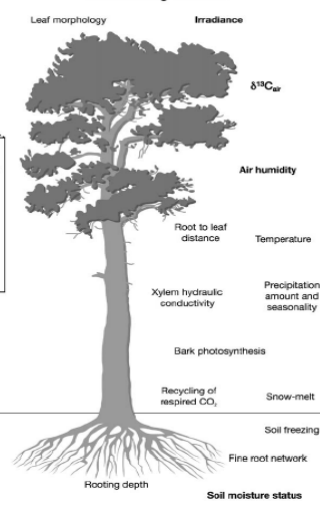
$$\Delta\% = a + (b-a)(c/c_a)$$

$$IWUE = A/g = c_a[1-(c/c_a)](0.625)$$

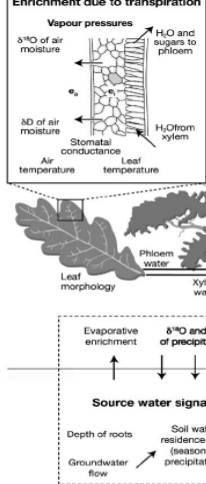
$$c/c_a = (\delta^{13}\text{C}_{plant} - \delta^{13}\text{C}_{air} + a)/(b-a)$$

$$c_a = c_a[\delta^{13}\text{C}_{plant} - \delta^{13}\text{C}_{air} + a]/(b-a)$$

Influencing factors



Enrichment due to transpiration



Leaf to air vapour pressure difference

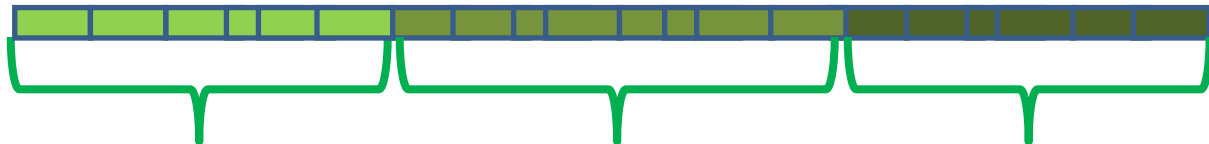
Exchange with xylem water

$$\Delta^{18}\text{O}_x = \epsilon^a + \epsilon_b + (\Delta^{18}\text{O}_v - \epsilon_v) e_v/e_i$$

$\delta^{18}\text{O}_x > \delta^{18}\text{O}$  of leaf water (Péclet effect)

Sugars =  $\delta^{18}\text{O}_{leaf\ water} + 27\%$

## Rapporti isotopici definiti dall'attività fisiologica fogliare e "memorizzati" negli anelli



Variazioni rapporto [CO<sub>2</sub>]<sub>intercellulare</sub>/[CO<sub>2</sub>]<sub>atmosfera</sub>), <sup>13</sup>C (Scheidegger et al. 2000)

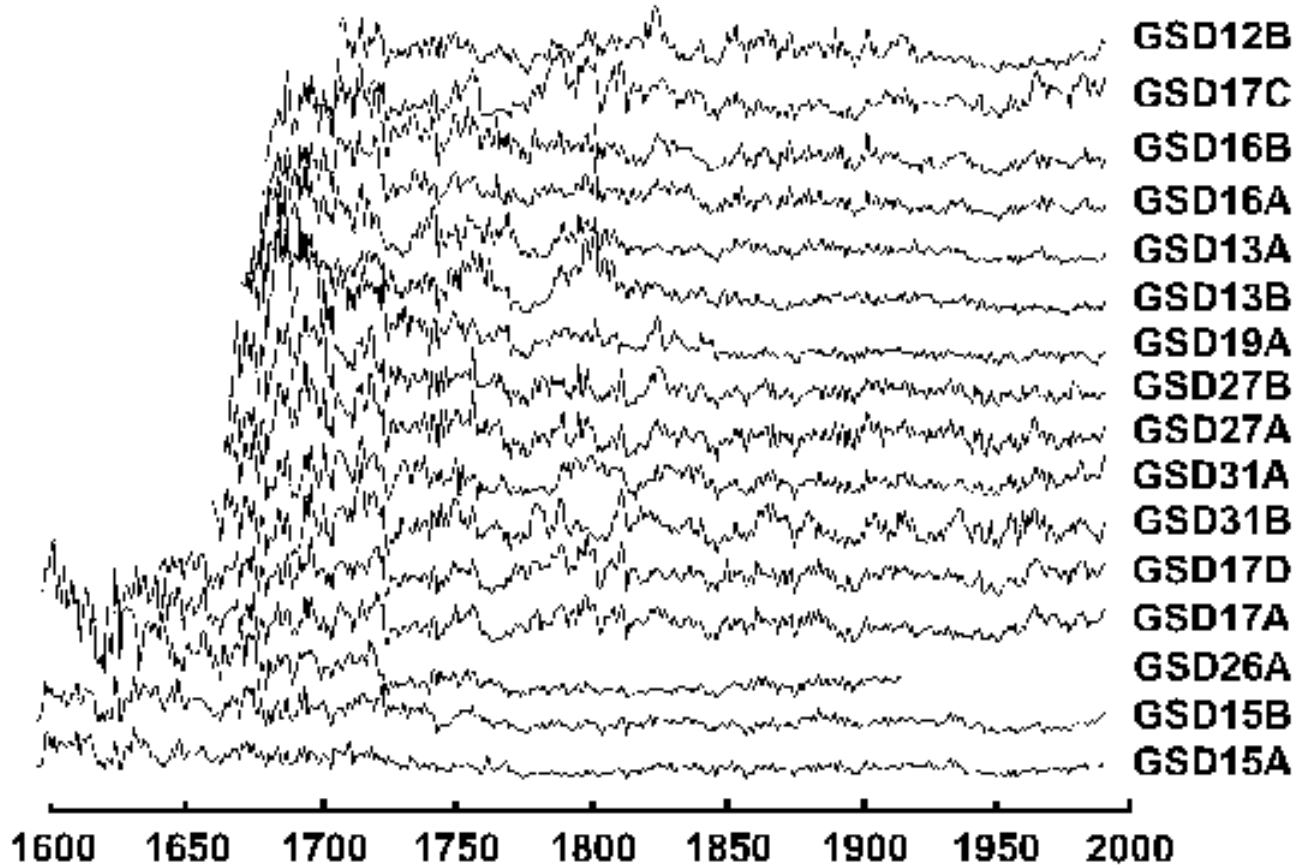
Riduzione conduttanza stomatica, <sup>18</sup>O (Farquhar & Lloyd 1993)

Quantificazione deposizioni azotate, <sup>15</sup>N ( Saurer et al. 2004)

Tracciatura composti organici clorinati, <sup>37</sup>Cl (Jendrzejewski et al. 2001)



## Great Sand Dunes



Più campioni è meglio.....





Grazie

